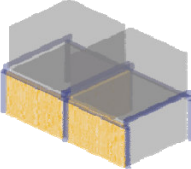
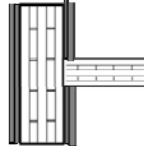
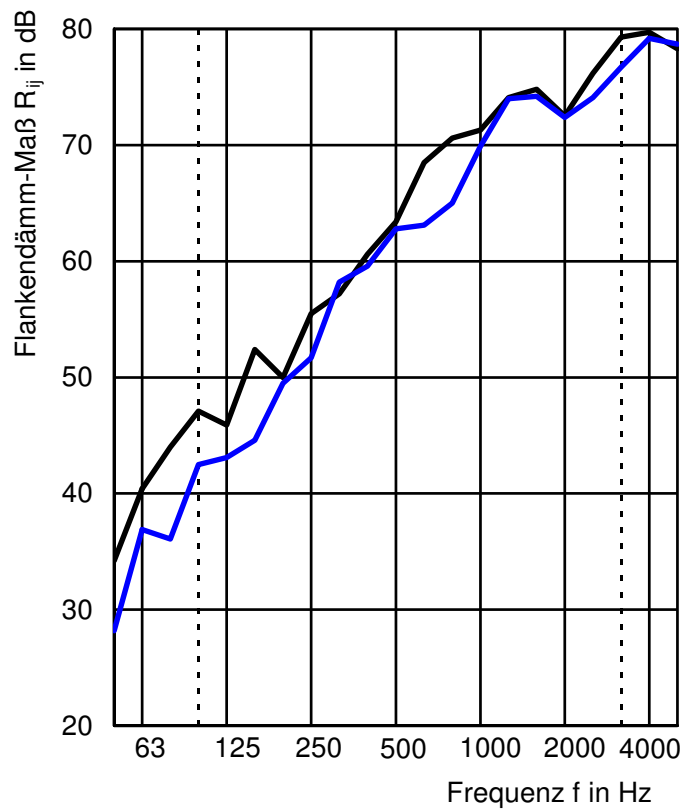



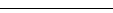
Horizontaler T-Stoß, Flanke durchlaufend

Aufbauvariante	3a_G_02	
Flankenwand	140 mm BSP + beidseitig 2 x 18 mm GF	$m' = 159 \text{ kg/m}^2$
Trennwand	80 mm BSP	$m' = 39 \text{ kg/m}^2$
$m'_{\text{Trennwand}} / m'_{\text{Flankenwand}}$	0,25	
Kopplungslänge	$l_{ij} = 2,7 \text{ m}$	 
Bauteilfläche Trennwand	$S_{Dd} = 11,8 \text{ m}^2$	
Bauteilfläche Flanke SR	$S_F = 9,5 \text{ m}^2$	
Bauteilfläche Flanke ER	$S_f = 11,6 \text{ m}^2$	
Empfangsraumvolumen	$V_E = 75,9 \text{ m}^3$	
Senderraumvolumen	$V_S = 72 \text{ m}^3$	

Bewertetes Flankendämm-Maß	$R_{Ff,w} = 66 \text{ dB}$
Bewertetes Flankendämm-Maß	$R_{Df,w} = 63 \text{ dB}$

	Y22	Y23
f in Hz	R_{Ff} in dB	R_{Df} in dB
50	34,2	28,2
63	40,4	36,9
80	44,0	36,1
100	47,1	42,5
125	45,9	43,1
160	52,4	44,6
200	50,0	49,5
250	55,5	51,7
315	57,2	58,2
400	60,6	59,6
500	63,4	62,8
630	68,5	63,1
800	70,6	65,0
1000	71,3	69,9
1250	74,1	74,0
1600	74,8	74,2
2000	72,5	72,4
2500	76,2	74,1
3150	79,3	76,7
4000	79,7	79,2
5000	78,3	78,7

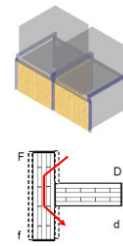


	Flankendämm-Maß R_{Ff}
	Flankendämm-Maß R_{Df}

Kopplungsgrößen Stoßtyp 3a_FG Übertragungsweg Ff:

Prüf.Nr.:	Flanke	Trennwand	$\frac{m^2 \text{ Trennwand}}{m^2 \text{ Flanke}}$
3a_F_02	2x18 GF /80 BSP/2x18 GF	80 BSP	0,31
3a_G_02	2x18 GF/140 BSP/2x18 GF	80 BSP	0,25

Abmessungen
$l_{ij} = 2,70 \text{ m}$
$S_{Dd} = 11,6 \text{ m}^2$
$S_F = 9,5 \text{ m}^2$
$S_I = 11,8 \text{ m}^2$



3a_F_02				3a_G_02					
f in Hz	$D_{v,Ff}$ in dB		\bar{x}	σ	f in Hz	K_{Ff} in dB		\bar{x}	σ
50	5,7	5,3	5,5		50	0,2	1,7	0,9	
63	10,2	4,4	7,3		63	3,8	0,2	2,0	
80	15,1	7,8	11,5		80	9,9	3,0	6,5	
100	19,1	16,5	17,8		100	13,1	12,3	12,7	
125	15,8	17,8	16,8		125	8,2	11,1	9,7	
160	15,5	13,5	14,5		160	7,2	6,5	6,8	
200	15,5	14,7	15,1		200	7,3	8,2	7,7	
250	20,5	18,7	19,6		250	12,2	11,5	11,8	
315	23,5	17,9	20,7		315	14,5	10,6	12,6	
400	17,9	24,6	21,2		400	9,2	17,7	13,4	
500	22,4	25,0	23,7		500	14,6	18,9	16,8	
630	25,5	28,4	27,0		630	17,7	21,5	19,6	
800	27,5	33,5	30,5		800	20,2	26,6	23,4	
1000	27,3	35,0	31,2		1000	19,9	29,3	24,6	
1250	31,0	36,5	33,7		1250	23,4	30,0	26,7	
1600	30,4	35,5	33,0		1600	23,9	30,4	27,1	
2000	32,1	33,2	32,7		2000	25,6	28,3	26,9	
2500	37,2	35,1	36,1		2500	30,6	29,2	29,9	
3150	40,0	37,1	38,6		3150	33,9	31,9	32,9	
4000	42,2	41,1	41,7		4000	36,4	35,7	36,1	
5000	44,8	43,0	43,9		5000	39,2	37,8	38,5	
$D_{v,Ff,n}$	17,5	20,1	18,8		K_{Ff}	15,5	19,4	17,4	

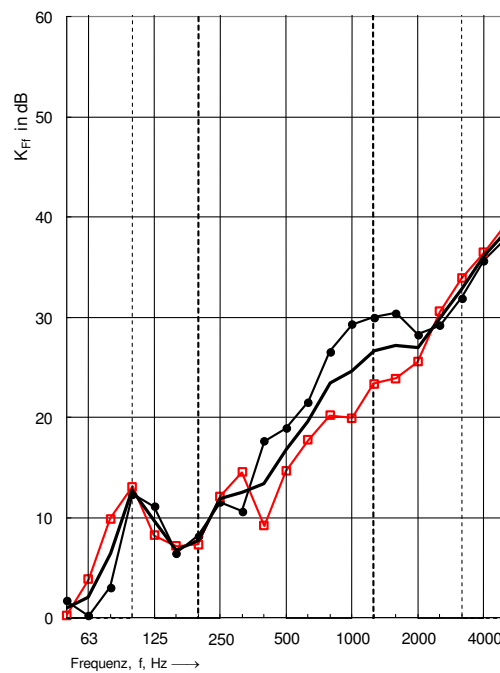
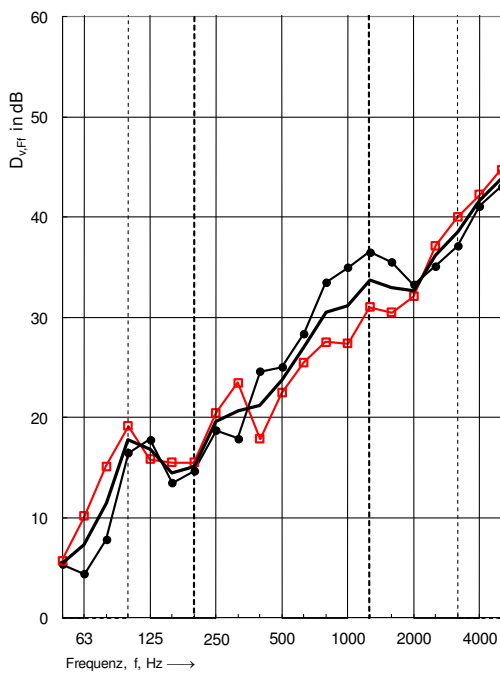


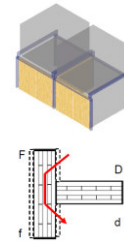
Abbildung 9 $D_{v,ij}$, K_{ij} : Horizontaler T-Stoß durchlaufend, bestehend aus BSP Wänden, flankierende Wände mit Beplankung: Messdaten $D_{v,Ff}$ mit zugehörigen Messkurven (links), Messdaten K_{Ff} mit zugehörigen Messkurven (rechts)



Gesamt Verlustfaktoren der Stoßbauteile, 3a_FG, Übertragungsweg Ff:

Prüf.Nr.:	Flanke	Trennwand	$\frac{m^2 \text{ Trennwand}}{m^2 \text{ Flanke}}$
3a_F_02	2x18 GF /80 BSP/2x18 GF	80 BSP	0,31
3a_G_02	2x18 GF/140 BSP/2x18 GF	80 BSP	0,25

Abmessungen
$l_{ij} = 2,70 \text{ m}$
$S_{Dd} = 11,6 \text{ m}^2$
$S_f = 9,5 \text{ m}^2$
$S_l = 11,8 \text{ m}^2$



f in Hz	$\eta_{tot,F}$		\bar{x}	σ
50	0,143	0,127	0,135	
63	0,140	0,099	0,120	
80	0,117	0,102	0,110	
100	0,125	0,101	0,113	
125	0,152	0,141	0,146	
160	0,153	0,128	0,141	
200	0,189	0,098	0,144	
250	0,147	0,110	0,129	
315	0,153	0,093	0,123	
400	0,117	0,095	0,106	
500	0,079	0,089	0,074	
630	0,073	0,061	0,067	
800	0,066	0,071	0,068	
1000	0,056	0,044	0,050	
1250	0,054	0,044	0,049	
1600	0,030	0,025	0,027	
2000	0,029	0,020	0,025	
2500	0,025	0,025	0,025	
3150	0,020	0,020	0,020	
4000	0,017	0,017	0,017	
5000	0,014	0,014	0,014	

f in Hz	$\eta_{tot,f}$		\bar{x}	σ
50	0,145	0,066	0,105	
63	0,163	0,085	0,124	
80	0,093	0,085	0,089	
100	0,101	0,052	0,076	
125	0,135	0,096	0,116	
160	0,147	0,096	0,121	
200	0,089	0,079	0,084	
250	0,099	0,077	0,088	
315	0,100	0,076	0,088	
400	0,090	0,050	0,070	
500	0,071	0,037	0,054	
630	0,061	0,048	0,055	
800	0,043	0,034	0,038	
1000	0,042	0,025	0,033	
1250	0,039	0,029	0,034	
1600	0,034	0,021	0,027	
2000	0,027	0,019	0,023	
2500	0,026	0,019	0,023	
3150	0,020	0,014	0,017	
4000	0,017	0,014	0,015	
5000	0,015	0,013	0,014	

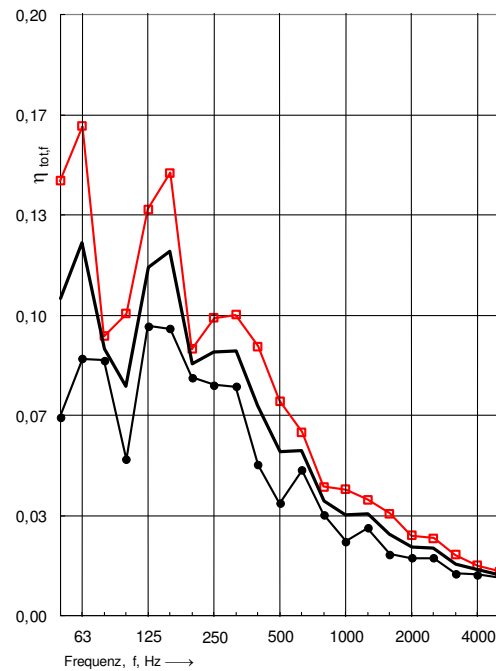
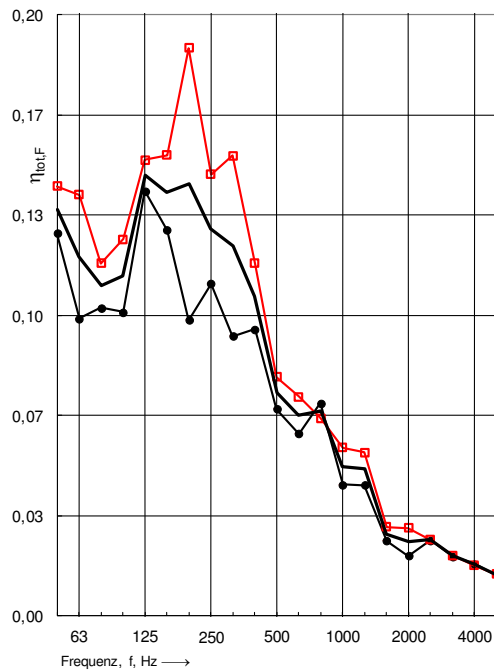
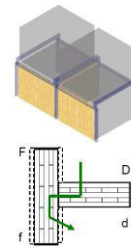


Abbildung 10 η_{tot} : Horizontaler T-Stoß durchlaufend, bestehend aus BSP Wänden, flankierende Wände mit Beplankung; Messdaten $\eta_{tot,F}$ mit zugehörigen Messkurven (links); Messdaten $\eta_{tot,f}$ mit zugehörigen Messkurven (rechts)

Kopplungsgrößen Stoßtyp 3a_FG Übertragungsweg Df:

Prüf.Nr.:	Flanke	Trennwand	$\frac{m^2 \text{ Trennwand}}{m^2 \text{ Flanke}}$
3a_F_02	2x18 GF /80 BSP/2x18 GF	80 BSP	0,31
3a_G_02	2x18 GF/140 BSP/2x18 GF	80 BSP	0,25

Abmessungen
$l_{ij} = 2,70 \text{ m}$
$S_{Dd} = 11,6 \text{ m}^2$
$S_F = 9,5 \text{ m}^2$
$S_I = 11,8 \text{ m}^2$



3a_F_02				3a_G_02					
f in Hz	$D_{v,Df}$ in dB		\bar{x}	σ	f in Hz	K_{Df} in dB		\bar{x}	σ
50	19,1	13,1	16,1		50	12,5	9,2	10,8	
63	22,6	18,2	20,4		63	16,3	13,3	14,8	
80	19,5	18,2	18,8		80	14,3	13,1	13,7	
100	20,9	20,4	20,7		100	15,0	16,7	15,8	
125	23,2	21,7	22,5		125	15,8	16,0	15,9	
160	21,9	22,9	22,4		160	14,9	17,1	16,0	
200	19,2	23,9	21,5		200	12,6	18,6	15,6	
250	20,3	19,0	19,7		250	12,6	13,0	12,8	
315	23,6	21,2	22,4		315	16,0	14,4	15,2	
400	19,8	23,9	21,9		400	12,0	17,8	14,9	
500	21,6	23,0	22,3		500	14,3	17,2	15,7	
630	23,7	24,8	24,2		630	15,5	17,9	16,7	
800	25,8	28,5	27,2		800	17,7	21,8	19,8	
1000	27,7	32,4	30,1		1000	19,6	25,8	22,7	
1250	31,4	34,8	33,1		1250	23,2	28,4	25,8	
1600	32,3	39,5	35,9		1600	25,1	32,8	29,0	
2000	36,6	39,6	38,1		2000	29,5	33,3	31,4	
2500	39,7	35,6	37,7		2500	32,8	28,9	30,8	
3150	41,6	40,4	41,0		3150	34,8	34,4	34,6	
4000	44,9	42,8	43,8		4000	38,5	36,8	37,6	
5000	45,0	44,6	44,8		5000	38,6	38,3	38,4	
$D_{v,Df,n}$	17,3	19,4	18,3		K_{Df}	16,0	19,4	17,7	

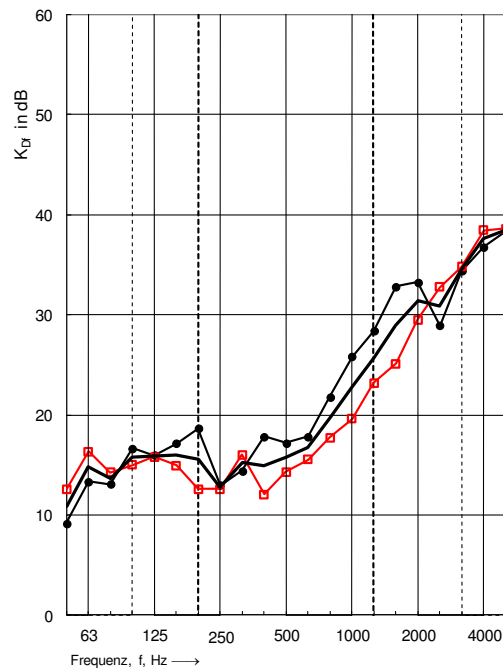
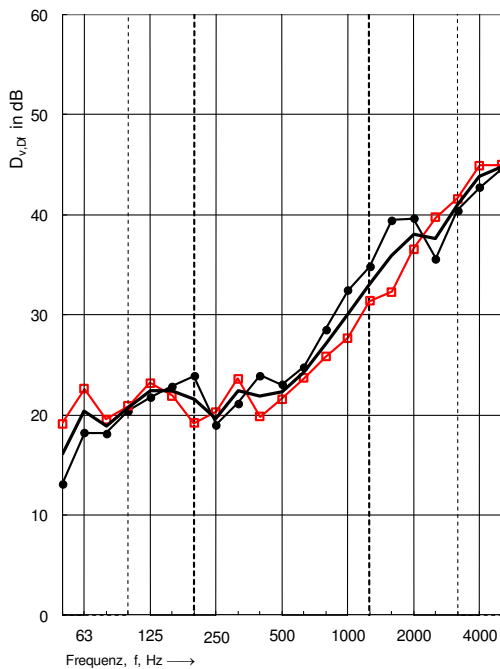


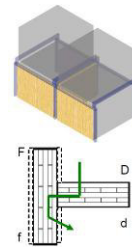
Abbildung 11 $D_{v,ij}$, K_{ij} : Horizontaler T-Stoß durchlaufend, bestehend aus BSP Wänden, flankierende Wände mit Beplankung: Messdaten $D_{v,Df}$ mit zugehörigen Messkurven (links), Messdaten K_{Df} mit zugehörigen Messkurven (rechts)



Gesamt Verlustfaktoren der Stoßbauteile, 3a_FG, Übertragungsweg Df:

Prüf.Nr.:	Flanke	Trennwand	$\frac{m^2 \text{ Trennwand}}{m^2 \text{ Flanke}}$
3a_F_02	2x18 GF /80 BSP/2x18 GF	80 BSP	0,31
3a_G_02	2x18 GF/140 BSP/2x18 GF	80 BSP	0,25

Abmessungen
$l_{ij} = 2,70 \text{ m}$
$S_{Dd} = 11,6 \text{ m}^2$
$S_f = 9,5 \text{ m}^2$
$S_l = 11,8 \text{ m}^2$



3a_F_02

3a_G_02

3a_F_02

3a_G_02

f in Hz	$\eta_{tot,D}$		\bar{x}	σ
50	0,186	0,117	0,151	
63	0,109	0,112	0,110	
80	0,077	0,088	0,083	
100	0,084	0,066	0,075	
125	0,096	0,076	0,086	
160	0,067	0,058	0,063	
200	0,067	0,046	0,056	
250	0,072	0,055	0,063	
315	0,066	0,060	0,063	
400	0,057	0,053	0,055	
500	0,046	0,050	0,048	
630	0,055	0,051	0,053	
800	0,056	0,053	0,055	
1000	0,057	0,055	0,056	
1250	0,042	0,043	0,043	
1600	0,032	0,042	0,037	
2000	0,031	0,031	0,031	
2500	0,024	0,030	0,027	
3150	0,024	0,026	0,025	
4000	0,020	0,023	0,021	
5000	0,019	0,018	0,019	

f in Hz	$\eta_{tot,f}$		\bar{x}	σ
50	0,144	0,066	0,105	
63	0,166	0,085	0,126	
80	0,118	0,095	0,106	
100	0,116	0,055	0,086	
125	0,157	0,096	0,127	
160	0,146	0,096	0,121	
200	0,100	0,079	0,090	
250	0,124	0,077	0,100	
315	0,101	0,076	0,089	
400	0,101	0,050	0,076	
500	0,080	0,037	0,059	
630	0,078	0,048	0,063	
800	0,058	0,034	0,046	
1000	0,045	0,025	0,035	
1250	0,053	0,023	0,038	
1600	0,034	0,021	0,027	
2000	0,027	0,019	0,023	
2500	0,026	0,019	0,023	
3150	0,019	0,013	0,016	
4000	0,016	0,011	0,013	
5000	0,013	0,013	0,013	

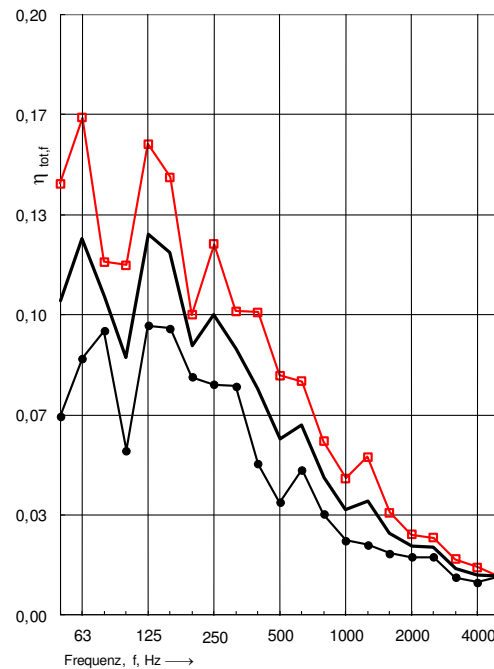
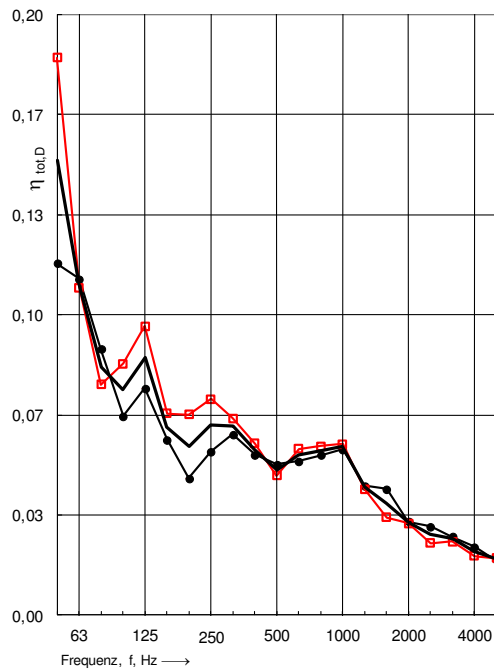


Abbildung 12 η_{tot} : Horizontaler T-Stoß durchlaufend, bestehend aus BSP Wänden, flankierende Wände mit Beplankung: Messdaten $\eta_{tot,D}$ mit zugehörigen Messkurven (links); Messdaten $\eta_{tot,f}$ mit zugehörigen Messkurven (rechts)